

## 2026 届高三一轮复习第一次调研考试 地 理 试 题

### 注意事项：

1. 答卷前，考生务必将自己的姓名、考场号、座位号、准考证号填写在答题卡上。
2. 回答选择题时，选出每小题答案后，用铅笔把答题卡上对应题目的答案标号涂黑。如需改动，用橡皮擦干净后，再选涂其他答案标号。回答非选择题时，将答案写在答题卡上。写在本试卷上无效。
3. 考试结束后，将本试卷和答题卡一并交回。

考试时间为 75 分钟，满分 100 分

一、选择题：本题共 16 小题，每小题 3 分，共 48 分。在每小题给出的四个选项中只有一项是最符合题目要求的。

靖边县( $108^{\circ}17' \sim 109^{\circ}20'E, 36^{\circ}58' \sim 38^{\circ}03'N$ )，位于陕西省北部，榆林市西南部，毛乌素沙漠南缘，属半温带大陆性气候。伊当湾光伏电站位于靖边县伊当湾村的东北部，毛乌素沙地的南部边缘，用地面积  $2.1\text{km}^2$  (下图)。伊当湾光伏电站总装机容量为 115.1MW，其中有 7 个平单轴光伏阵列，阵列呈南北走向，板面随太阳位置变化绕南北轴转动；25 个固定可调光伏阵列，阵列呈东西走向，板面朝南，与地面夹角固定。据此完成 1~3 题。



1. 在靖边县伊当湾村修建伊当湾光伏电站的优势有

- ①太阳能资源丰富
- ②太阳高度角较大
- ③可利用土地面积大
- ④当地消费市场广阔

A. ①②

B. ①③

C. ②③

D. ③④

2. 一年中伊当湾光伏电站 7 个平单轴光伏阵列板面与地面的最大夹角接近

A.  $40^{\circ}$

B.  $50^{\circ}$

C.  $60^{\circ}$

D.  $70^{\circ}$

3. 伊当湾光伏电站对当地微气候的影响是

A. 降温增湿

B. 增温降湿

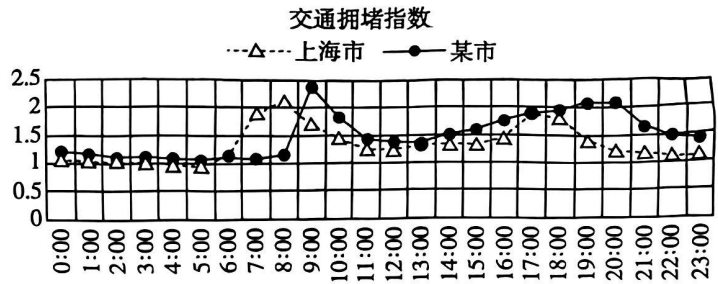
C. 增大风速

D. 减少光照

交通拥堵指数是综合反映道路网畅通或拥堵的概念性指数值,数值越高表明交通拥堵状况越严重。下图示意 2024 年 12 月 1 日我国两城市的交通拥堵指数。据此完成 4~5 题。

4. 某市可能是

- A. 北京市
- B. 沈阳市
- C. 乌鲁木齐市
- D. 呼和浩特市



5. 该日至元旦期间

- A. 两地正午太阳高度变小
- B. 两地白昼时间逐渐变长
- C. 两地日出方位均为东北
- D. 地球公转速度逐渐加快

郭扎错(图 1)位于西藏西北日土县北部,西昆仑山山间盆地内,目前为封闭湖盆。湖区属昆仑高寒半荒漠、荒漠干旱气候,平均气温 $-0.8 \sim -6.0^{\circ}\text{C}$ ,年降水量 $75 \sim 100\text{mm}$ 。郭扎错湖岸阶地不发育,周围多为基岩山坡,湖下岸坡陡峻。图 2 示意 1975—2018 年郭扎错湖泊面积变化。据此完成 6~8 题。

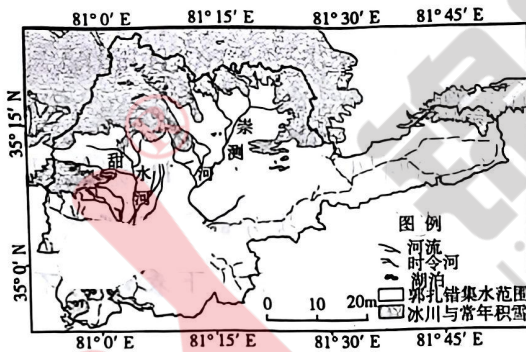


图 1

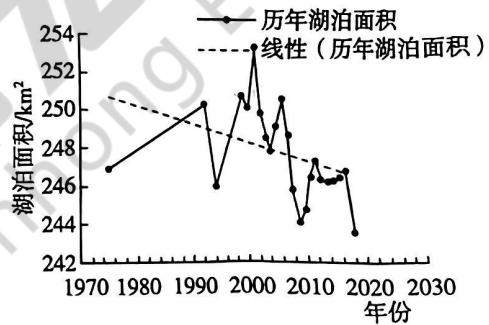


图 2

6. 1975—2018 年郭扎错湖泊面积

- A. 持续萎缩
- B. 持续扩张
- C. 波动萎缩
- D. 波动扩张

7. 推测 1975—2018 年郭扎错湖泊面积变化较为明显的区域位于其

- A. 北部和东北部
- B. 南部和东南部
- C. 西北部和东南部
- D. 东北部和西南部

8. 1975—2018 年郭扎错湖泊面积变化反映了该地区的气候变化是

- A. 暖干向暖湿
- B. 暖湿向暖干
- C. 冷干向冷湿
- D. 冷湿向冷干

中央气象台预报：3月22日，我国北方地区气温创历史新高，部分地区达到30℃。3月25日至29日，受寒潮影响我国中东部大部分地区降温剧烈，伴有4~6级大风，阵风可达7~9级，有些地区出现扬沙或浮尘天气。图1为3月25日我国局部地区海平面天气图。图2为3月25日，某地教师上午8:15分拍摄的照片。据此完成9~11题。

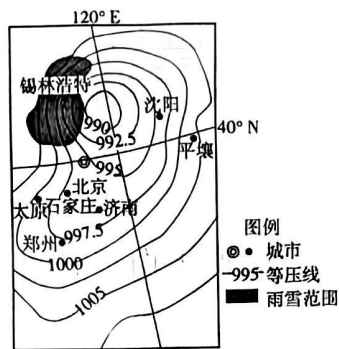


图1



图2

9. 受寒潮影响，可能出现扬沙或浮尘天气的是  
 A. 锡林浩特      B. 北京      C. 平壤      D. 沈阳
10. 此刻影响该区域东部地区的气团性质是  
 A. 冷干      B. 冷湿      C. 暖干      D. 暖湿
11. 照片拍摄地的风向为  
 A. 偏东风      B. 偏南风      C. 偏西风      D. 偏北风

某团队在宁夏盐池县(37.73°N, 107.12°E)进行土壤盐分的调查研究。研究发现，土壤盐分的空间分布格局是多方面因素共同作用的结果。下表示意不同深度土壤的不同程度盐渍化面积占比。据此完成12~14题。

土层深度(cm)	非盐渍化土(%)	轻度盐渍土(%)	中度盐渍土(%)	重度盐渍土(%)	盐土(%)
0-20	0.01	0.1	0.15	4.75	94.99
20-40	0.01	0.06	0.19	9.16	90.58
40-60	0.01	0.8	1.63	24.55	73.01
60-80	0.05	0.2	0.8	35.66	63.28
80-100	0.07	0.08	2.03	56.1	41.71

注：盐土是指含有大量可溶性盐类的土壤。

12. 该区域的气候条件是  
 A. 温带季风气候，降水多，蒸发量大  
 B. 温带大陆性气候，降水少，蒸发量大  
 C. 高山高原气候，降水少，蒸发量大  
 D. 温带海洋性气候，降水多，蒸发量小

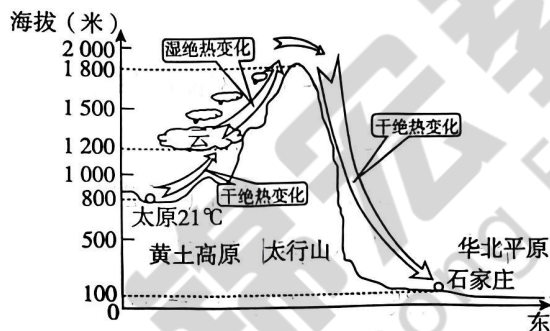
13. 关于该区域盐分分布下列表述正确的是

- A. 中度盐渍土面积较大
- B. 随着土层深度的增加,盐渍化程度逐渐增加
- C. 重度盐渍土面积最大
- D. 随着土层深度的增加,盐渍化程度逐渐减弱

14. 仅考虑降水增加的情况下,未来该地盐分可能的演化趋势是

- A. 表层盐分增加
- B. 盐碱化减轻
- C. 深层盐分增加
- D. 无明显变化

理想状态下,气流在迎风坡,先按干绝热率( $1^{\circ}\text{C}/100\text{m}$ )降温,到云底高度后按湿绝热率( $0.5^{\circ}\text{C}/100\text{m}$ )降温;气流越过山顶后,按干绝热率增温,形成焚风效应。某年7月14日上午9时,某科研小组实测了石家庄出现的焚风效应,绘制出气流运动示意图(下图)。据此完成15~16题。



15. 空气上升到云底高度之后的降温速度变小的原因是

- A. 气流抬升降温
- B. 水汽液化放热
- C. 太阳辐射增强
- D. 水汽凝华吸热

16. 理论上7月14日上午9时石家庄的气温可能是

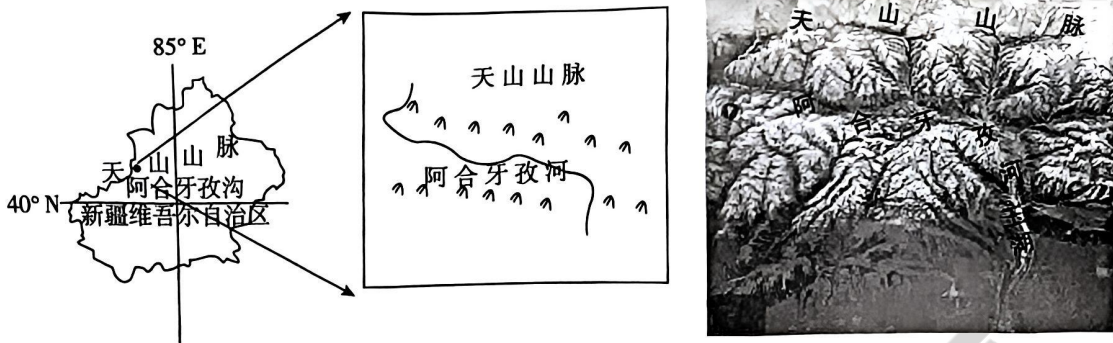
- A.  $20^{\circ}\text{C}$
- B.  $27^{\circ}\text{C}$
- C.  $31^{\circ}\text{C}$
- D.  $34^{\circ}\text{C}$

二、非选择题:本题共3小题,共52分。

17. 阅读图文材料,完成下列要求。(18分)

新疆伊犁河谷最大的冬季牧场—阿合牙孜牧场,有着昭苏高原上“桃花源”的美誉,位于昭苏县喀夏加尔镇南边天山深处,沟内的阿合牙孜河是特克斯河的最大支流,海拔高度3000米左右,由大大小小的30多条峡谷组成。水草充足、气候适宜的阿合牙孜沟,呈东南—西北走向,全长约200公里,这里山谷纵横,河流蜿蜒,河流两岸和山间缓坡地带散布着万亩草场。谷里冬暖夏凉,水草丰茂,是昭苏县冬季4000多户牧民50余万头牲畜越冬的牧场。每年10月,新

疆昭苏县的牧民便陆续赶着牛羊，转场至阿合牙孜沟冬季牧场，直至第二年的5月才离开。下图示意阿合牙孜沟位置及卫星影像。



- (1) 分析阿合牙孜沟的气候特点。(6分)
- (2) 推测阿合牙孜河的水文特征。(6分)
- (3) 简述阿合牙孜沟作为昭苏县冬季牲畜越冬牧场的条件。(6分)

18. 阅读图文材料,完成下列要求。(16分)

茎柔鱼是头足纲柔鱼科中体型最大、经济价值最高的物种之一,广泛分布于太平洋东部加利福尼亚(37°N)至智利(47°S)沿岸到 125°W 的海域。由于茎柔鱼的生命周期仅为 1~2 年,其生活史过程对气候和海洋环境变化较为敏感。当气候和海洋环境不利时,茎柔鱼种群会及时响应,转移到相对适宜的栖息地,厄尔尼诺和拉尼娜事件是太平洋表温异常变动的主导因素,其具有年际变动周期,对该区域鱼类的空间分布产生明显的影响。图 1 示意不同强度拉尼娜事件期间秘鲁外海茎柔鱼栖息地适宜性指数(HSI $\geq 0.6$  定义为适宜的栖息地)的空间分布。图 2 示意秘鲁外海茎柔鱼渔场 HSI 重心在不同强度厄尔尼诺事件期间的纬向变化。

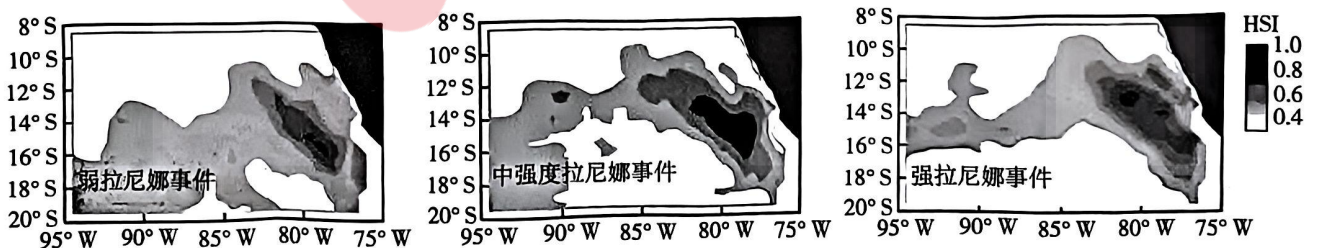


图 1

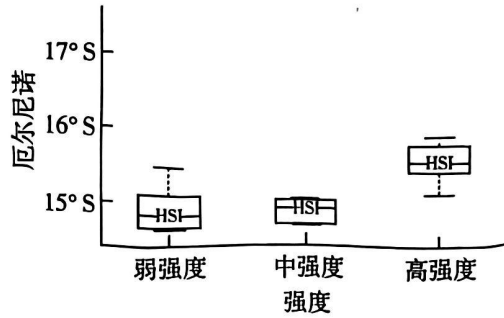


图 2

- (1) 描述不同强度拉尼娜事件下, 秘鲁外海茎柔鱼栖息地的适宜性及面积的变化趋势。(6分)
- (2) 指出不同强度厄尔尼诺事件期间, 秘鲁外海茎柔鱼 HSI 渔场重心的移动方向。(4分)
- (3) 说明秘鲁外海茎柔鱼渔场的成因。(6分)

19. 阅读图文材料, 完成下列要求。(18分)

长江铜陵河段上起羊山矶, 下迄荻港镇, 全长 61.2km。铜陵河段进、出口为窄深单一段, 进口河宽 1.1km, 出口河宽 0.9km, 中间为展宽段, 最大河宽达 12.2km, 江中沙滩众多, 有成德洲、章(汀)家洲、太阳洲、太白洲、铜陵沙等顺列江中, 形成极其复杂的鹅头型多汊河段。三峡水库(2003年)蓄水运用以来, 铜陵河段汊道冲淤发展不断变化。图 1 示意铜陵河段历年冲淤量(冲淤量=淤积量-冲刷量)变化。图 2 示意铜陵河段进口段河床典型断面变化情况。

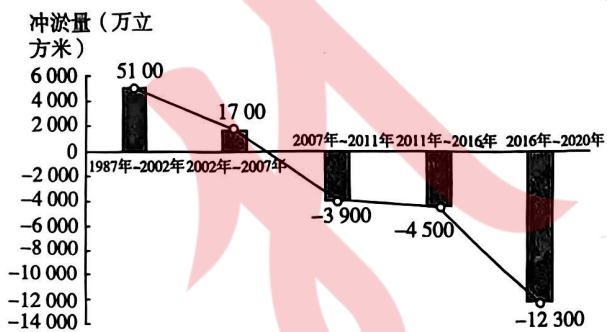


图 1

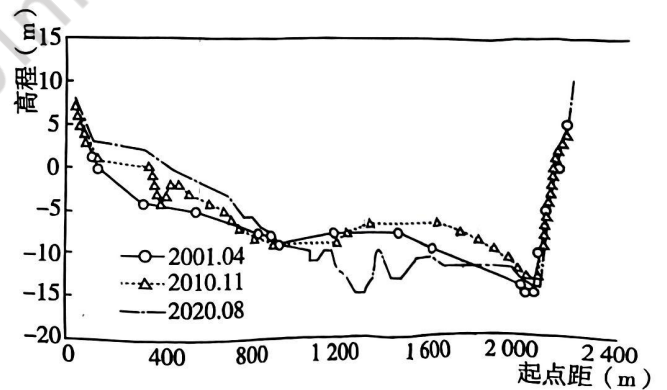


图 2

- (1) 简述三峡蓄水(2003年)前后铜陵河段的冲淤变化态势。(6分)
- (2) 描述铜陵河段进口段河床典型断面变化情况。(6分)
- (3) 推测铜陵河段河床未来的整体发展方向并说明理由。(6分)